

3. Beugung an periodischen Strukturen

1

Beugung analog zu Beugung am Gitter
(1-dim. Struktur).

Wellenlänge angepasst an Atomabstände ($\sim 10^{-10}\text{ m}$)

→ Beugung mit Elektronen, Röntgenstrahlen,
Neutronen, Atomstrahlen

hier zunächst gemeinsame Beschreibung, spez.
Unterschiede s. Kap. 3.6

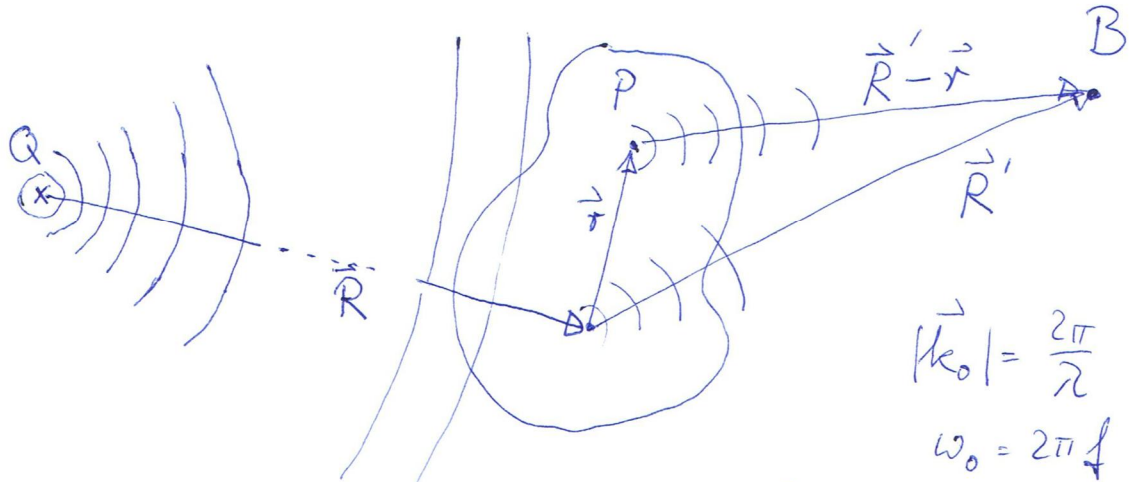
	Vorteile	Nachteile
Beugungs- methoden	<ul style="list-style-type: none">- einfache Proben- + Vorbereitung- hohe Präzision- 3D - Information	<ul style="list-style-type: none">- Modellannahmen zur Interpretation- Translations-sym- metrie notwendig
direkte Ab- bildung (Elektronen- mikroskop)	<ul style="list-style-type: none">- Abbildung von Einzeldefekten- keine Modellannahmen	<ul style="list-style-type: none">- aufwändige Proben- vorbereitung- 2D-Information

3.1 Beugungstheorie (allgemein)

2

Ann.: 1-fach Streuung (Welle wird genau 1-mal gestreut)

$\hat{=}$ kinematische Näherung, 1. Born'sche Näherung



Q: Strahlungsquelle; B: Beobachter

Ist Q weit weg ($|R| \text{ groß}$) \rightarrow Bestrahlung d. ebene Welle

Ampplitude am Ort P zur Zeit t:

$$A_p = A_0 e^{i \vec{k}_0 (\vec{R} + \vec{r}) - i \omega_0 t} \quad (\text{Primärwelle}) \quad (3.1)$$

Primärwelle regt Kugelwelle am Ort P an mit
fester Phasenlage (Kohärenzbedingung)

Beitrag der sekundären Kugelwelle am Ort B:

$$A_B = A_p(\vec{r}, t) \varrho(\vec{r}) \frac{e^{i \vec{k} (\vec{R}' - \vec{r})}}{|\vec{R}' - \vec{r}|} \quad (3.2)$$

↑
Streu-dichte

\overline{BP} sehr groß: $|\vec{R}' - \vec{r}| \approx |\vec{R}'| =: R'$

$$A_B = A_p(\vec{r}, t) \varrho(\vec{r}) \frac{1}{R'} e^{i \vec{k} (\vec{R}' - \vec{r})} \quad (3.3)$$

$$\vec{k} \text{ ungefähr gleich für alle Orte } P_i \text{ mit (3.1) folgt: }^3$$

$$A_B = \frac{A_0}{R} e^{i(\vec{k}_0 \vec{R} + \vec{k} \vec{R}') - i\omega_0 t} e^{-i\omega_0 t} g(\vec{r}) e^{i(\vec{k}_0 \vec{r} - \vec{k} \vec{r})} \quad (3.4)$$

Integration über den gesuchten Bereich liefert:

$$A_B(t) \propto e^{-i\omega_0 t} \int g(\vec{r}) e^{i(\vec{k}_0 \vec{r} - \vec{k} \vec{r})} d^3 r \quad (3.5)$$

Beobachtet wird statt Amplitude die Intensität I
 I hängt ab von $\vec{K} := \vec{k}_0 - \vec{k}_0$: (Streuvektor K)

$$I(\vec{K}) \propto |A_B|^2 \propto \underbrace{\left| \int g(\vec{r}) e^{-i\vec{K}\vec{r}} d^3 r \right|^2}_{\text{Fourier-Transformierte von } g(\vec{r}) \text{ bzgl. } \vec{K}} \quad (3.6)$$

Fourier-Transformierte von
 $g(\vec{r})$ bzgl. \vec{K} .

$\Rightarrow \frac{1}{|\vec{K}|} \sim$ auflösbare Strukturgröße

- Verlust d. Phaseninformation (H^2) verhindert
einfache Rücktransformation.

unterschiedl. $g(\vec{r})$ führen zum gleichen $I(\vec{K})$.

$I(\vec{K})$ erlaubt keine eindeutige Bestimmung von $g(\vec{r})$.

Wellenlänge $\lambda (= \frac{2\pi}{k})$ muß von d.
Größeordnung der Atomabstände sein.

Hilfe für Strukturanalysen: Patterson-Funktion

$\hat{=}$ Fourier-Transformation der gemessenen
 $I(\vec{K})$ -Verteilung.

$$I(\vec{k}) \propto |F(g(\vec{r}))|^2 = F(g(\vec{r})) \cdot F^*(g(\vec{r}))$$

$$\begin{aligned}
 (\text{s. (3.6)}): & \propto \int g(\vec{r}) e^{-i\vec{k}\vec{r}} d^3r \cdot \int g(\vec{r}') e^{+i\vec{k}\vec{r}'} d^3r' = \\
 & = \int g(\vec{r}) e^{-i\vec{k}\vec{r}} g(\vec{r}') e^{+i\vec{k}\vec{r}'} d^3r d^3r' = \\
 \stackrel{\vec{r}' \mapsto \vec{r}' + \vec{r}}{\rightarrow}: & = \int g(\vec{r}) e^{-i\vec{k}\vec{r}} g(\vec{r} + \vec{r}') e^{+i\vec{k}\vec{r}} e^{+i\vec{k}\vec{r}'} d^3r d^3r' = \\
 & = \underbrace{\int g(\vec{r}) \cdot g(\vec{r} + \vec{r}') d^3r e^{i\vec{k}\vec{r}'} d^3r'}_{=: P(\vec{r}')} \\
 & = \int P(\vec{r}') e^{+i\vec{k}\vec{r}'} d^3r' = F^{-1}(P) \quad (3.7)
 \end{aligned}$$

Pattersonfunktion $P(\vec{r}') = \int g(\vec{r}) g(\vec{r} + \vec{r}') d^3r$

ist die Autokorrelationsfunktion der Streudichte.

$P(\vec{r}')$ besitzt Maxima für $g(\vec{r}) = g(\vec{r} + \vec{r}')$;

dass heißt wenn \vec{r}' ein Vektor zwischen 2 Atomen ist.

$P(\vec{r}')$ hilfreich besonders für ungeordnete Systeme
Annahme: gleiche Atome, bzw. Streudichte s_A .

Streudichte am Atom i $s_A(\vec{r} - \vec{r}_i)$

Summe über alle Atome

$$g(\vec{r}) = \sum_i s_A(\vec{r} - \vec{r}_i) \quad (3.8)$$

5

Dann erhält man die Pattersonfunktion:

$$\begin{aligned}
 P(\vec{r}') &= \sum_{i,j} \int \rho_A(\vec{r}-\vec{r}_i) \rho_A(\vec{r}-\vec{r}_j + \vec{r}') d^3 r \\
 &= \underbrace{\sum_i \int \rho_A(\vec{r}-\vec{r}_i) \rho_A(\vec{r}-\vec{r}_i + \vec{r}') d^3 r}_{(I)} + \underbrace{\sum_i \int \rho_A(\vec{r}-\vec{r}_i) \sum_{j \neq i} \rho_A(\vec{r}-\vec{r}_j + \vec{r}') d^3 r}_{(II)} \quad (2.9)
 \end{aligned}$$

Für Punktstreuung gilt:

$$(I) \quad \sum_i \int \rho_A(\vec{r}-\vec{r}_i) \rho_A(\vec{r}-\vec{r}_i + \vec{r}') d^3 r = N \cdot f^2 \delta_{0,\vec{r}'},$$

Atomformfaktor

(II) Weitere Näherung: ungeordnetes System,
Mittelwert $\bar{\rho}$ d.h. $\bar{\rho}(\vec{r})$ hängt nur vom Abstand r ab.

$$\bar{\rho}(\vec{r}) = \left\langle \sum_{j \neq i} \rho_A(\vec{r}-\vec{r}_j) \right\rangle$$

$$\Rightarrow P(\vec{r}') = N f^2 \delta_{0,\vec{r}'} + N \int \bar{\rho}(r) \bar{\rho}(r+r') d^3 r \quad (3.10)$$

Definition der Paarkorrelationsfunktion $g(r')$:

$$\frac{N}{V} f^2 g(r') := \int \bar{\rho}(r) \bar{\rho}(r+r') d^3 r \quad (3.11)$$

Einsetzen von (3.11) in (3.7) :

$$\begin{aligned}
 I(\vec{k}) &\propto \int P(\vec{r}') e^{+i\vec{k}\vec{r}'} d^3 r' = \\
 &= Nf^2 + Nf^2 \cdot \frac{N}{V} \int g(r') e^{+i\vec{k}\vec{r}'} d^3 r' \\
 &= Nf^2 \left[1 + \frac{N}{V} \int g(r) e^{+i\vec{k}\vec{r}} d^3 r \right] \quad (3.12) \\
 &\xrightarrow{\text{L}} = S(\vec{k})
 \end{aligned}$$

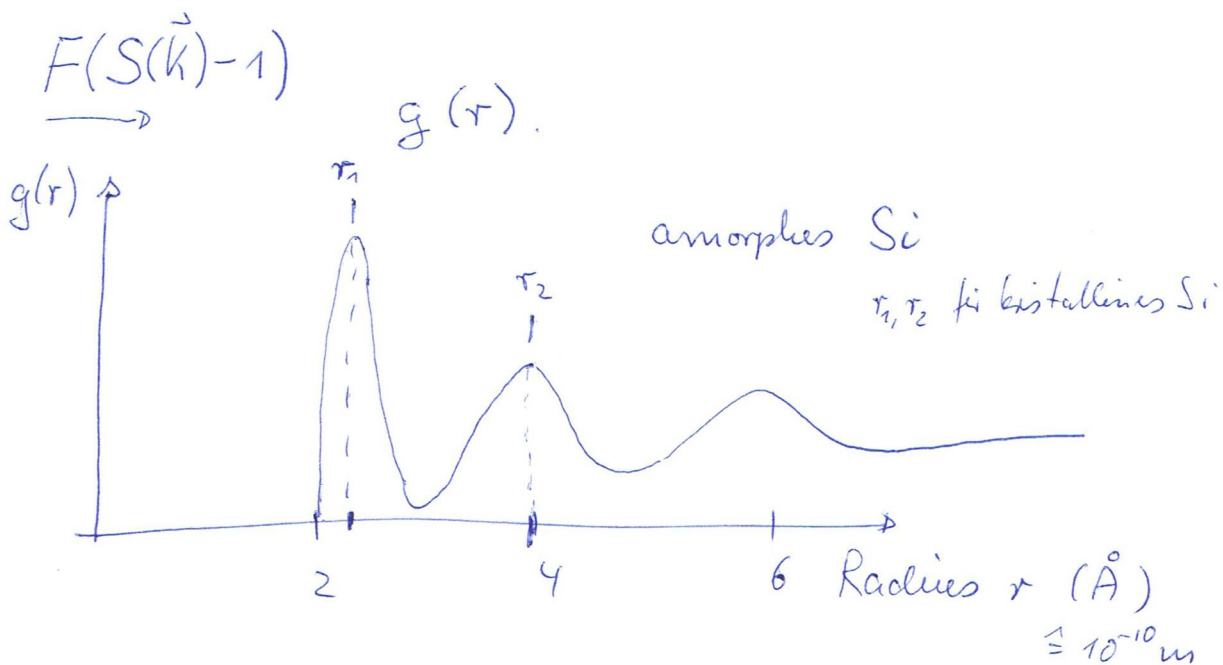
Strukturfaktor

$$S(\vec{k}) = 1 + \frac{N}{V} \int g(r) e^{i\vec{k}\vec{r}} d^3 r \quad (3.13)$$

$$I(\vec{k}) \propto S(\vec{k}) \quad (3.14)$$

Vorgehensweise der Auswertung von $I(\vec{k})$:

Experiment $\rightarrow I(\vec{k}) \xrightarrow{(3.14)} S(\vec{k}) \rightarrow$

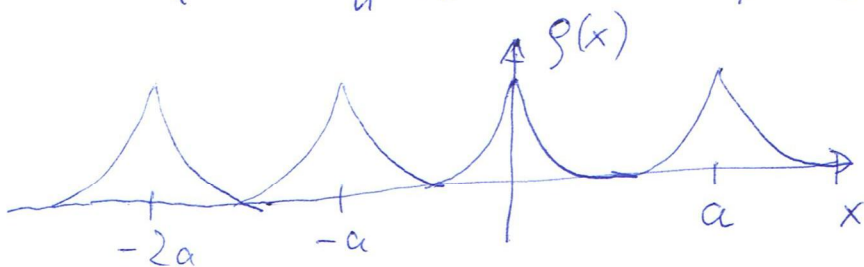


3.2. Periodische Strukturen und rekiprokes Gitter

- Entwicklung von $g(r)$ in einer Fourier-Reihe:

1-dimensionales Beispiel

$$g(x) = \sum_n g_n e^{i(\frac{2\pi}{a} \cdot n)x}; \quad g(x) = g(x+na)$$



3-dimensionaler Fall:

$$g(\vec{r}) = \sum_{\vec{Q}} g_{\vec{Q}} e^{i\vec{Q} \cdot \vec{r}}; \quad \text{Summation (3.15)}$$

über bestimmte
Gittervektoren \vec{Q}

Im 1-dim. Fall war $\vec{Q} = \frac{2\pi}{a} \cdot n$. Jetzt muss gelten:

$$g(\vec{r}) = g(\vec{r} + \vec{r}_n) \text{ mit } \vec{r}_n = n_1 \vec{a}_1 + n_2 \vec{a}_2 + n_3 \vec{a}_3$$

$$\text{Daraus folgt: } \vec{Q} \cdot \vec{r}_n = 2\pi m, \quad m \in \mathbb{Z} \quad (3.15)$$

$$\text{Sei } \vec{Q} = h \vec{g}_1 + k \vec{g}_2 + l \vec{g}_3; \quad h, k, l \text{ aus } \mathbb{Z}$$

$$\text{und } n_2 = n_3 = 0; \quad \vec{r}_n = n_1 \vec{a}_1 \Rightarrow$$

$$(3.15) \quad (h \vec{g}_1 + k \vec{g}_2 + l \vec{g}_3) \cdot n_1 \vec{a}_1 = 2\pi m$$

Für beliebige n_1 nur zu erfüllen, wenn

$$\vec{g}_1 \cdot \vec{\alpha}_1 = 2\pi \quad \text{und} \quad \vec{g}_2 \cdot \vec{\alpha}_1 = 0; \quad \vec{g}_3 \cdot \vec{\alpha}_3 = 0$$

Das gilt entsprechend für die weiteren Skalarprodukte:

$$\boxed{\vec{g}_i \cdot \vec{\alpha}_j = 2\pi \delta_{ij}} \quad (3.17)$$

Durch (3.17) werden 3 Basisvektoren eindeutig

definiert: $\vec{g}_1, \vec{g}_2, \vec{g}_3$. Alle Punkte

$\vec{G} = h\vec{g}_1 + k\vec{g}_2 + l\vec{g}_3$ definieren eindeutig ein Gitter:

Reziprokes Gitter

Der Name 'reziproke' röhrt von der Einheit her:

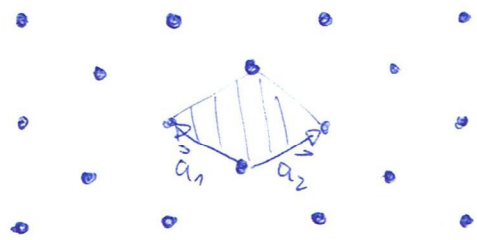
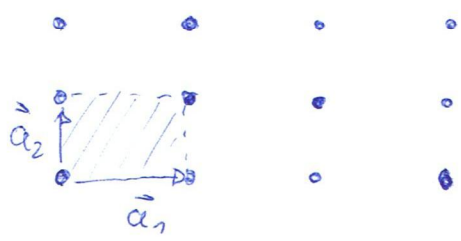
$$[|\vec{G}_i|] = m^{-1}$$

Eine zu (3.17) äquivalente Gleichung:

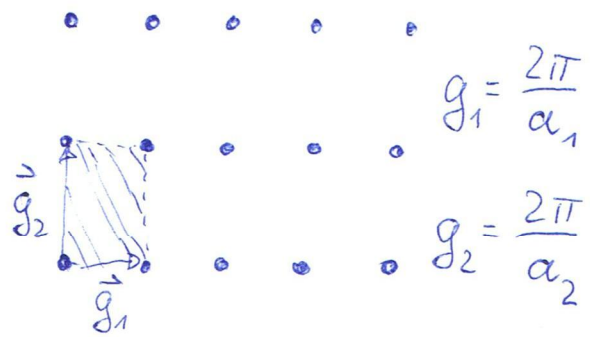
$$\left. \begin{aligned} \vec{g}_1 &= 2\pi \frac{\vec{\alpha}_2 \times \vec{\alpha}_3}{\vec{\alpha}_1 (\vec{\alpha}_2 \times \vec{\alpha}_3)} \\ \vec{g}_2 &= 2\pi \frac{\vec{\alpha}_3 \times \vec{\alpha}_1}{\vec{\alpha}_2 (\vec{\alpha}_3 \times \vec{\alpha}_1)} \\ \vec{g}_3 &= 2\pi \frac{\vec{\alpha}_1 \times \vec{\alpha}_2}{\vec{\alpha}_3 (\vec{\alpha}_1 \times \vec{\alpha}_2)} \end{aligned} \right\} \quad (3.17a)$$

Beispiele: (in 2 Dimensionen)

Ortsraum



Reziproker Gitter

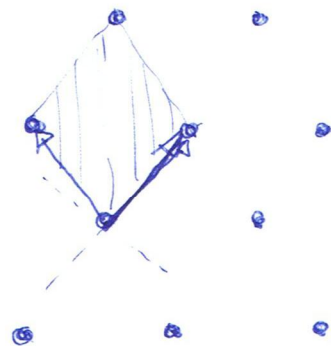


$$\vec{a}_1 \cdot \vec{g}_2 = 0$$

$$\vec{a}_2 \cdot \vec{g}_1 = 0$$

$$g_1 = 2\pi \frac{\vec{a}_2}{|\vec{a}_1 \times \vec{a}_2|}$$

$$g_2 = 2\pi \frac{\vec{a}_1}{|\vec{a}_1 \times \vec{a}_2|}$$



(10)

3.3 Streuung an periodischen Strukturen

Aus Kapitel 3.1:

$$I(\vec{k}) \propto \left| \int g(\vec{r}) e^{-i\vec{k}\vec{r}} d^3 r \right|^2 =$$

Einsetzen d.

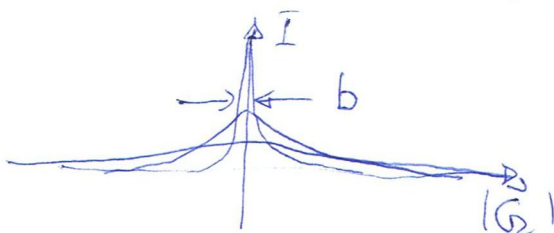
$$\begin{aligned} &= \left| \int \sum_{\vec{G}_2} \xi_{\vec{G}_2} e^{i\vec{G}_2 \vec{r}} \cdot e^{-i\vec{k}\vec{r}} d^3 r \right|^2 = \\ \text{Fourierentwick-} &\quad \underbrace{\sum_{\vec{G}_2} \xi_{\vec{G}_2} e^{i(\vec{G}_2 - \vec{k}) \vec{r}}}_{g(\vec{r})} \\ \text{lung (3.15)} &= \left| \sum_{\vec{G}_2} \xi_{\vec{G}_2} \underbrace{\int e^{i(\vec{G}_2 - \vec{k}) \vec{r}} d^3 r}_{I} \right|^2 \end{aligned}$$

Nebenrechnung für I :

$$\int e^{i(\vec{G}_2 - \vec{k}) \vec{r}} d^3 r = \begin{cases} 0 & \text{für alle Fälle } \vec{G}_2 \neq \vec{k} \\ V & \text{für } \vec{G}_2 = \vec{k} \end{cases} \quad (3.18)$$

V heißt Streuvolumen.

(3.18) gilt nur für unendlich ausgedehnten Kristall exakt. Bei endlicher Probenausdehnung (Kristallite)



je kleiner der Kristall,
desto breiter die Verteilung

$$I(\vec{k} = \vec{G}_2) \propto \frac{|A_0|^2}{R'^2} \left| \xi_{\vec{G}_2} \right|^2 V^2 \quad (3.19)$$

$$b \propto \frac{1}{V}; \quad I_{\max} \cdot b \approx V$$

Erinnerung $\vec{G}_2 = h\vec{g}_1 + k\vec{g}_2 + l\vec{g}_3$

$$I(\vec{G}_2) = I_{hkl} \propto |\varrho_{hkl}|^2 \quad (3.20)$$

\vec{G}_2 ist eindeutig durch die Angabe von h, k, l gegeben. Daher können Intensitäten auch durch I_{hkl} angegeben werden.

Wenn keine Absorption der Strahlung vorhanden ist, gilt

$$\varrho_{hkl} = \varrho_{\bar{h}\bar{k}\bar{l}}^* ; \quad \bar{h} = -h$$

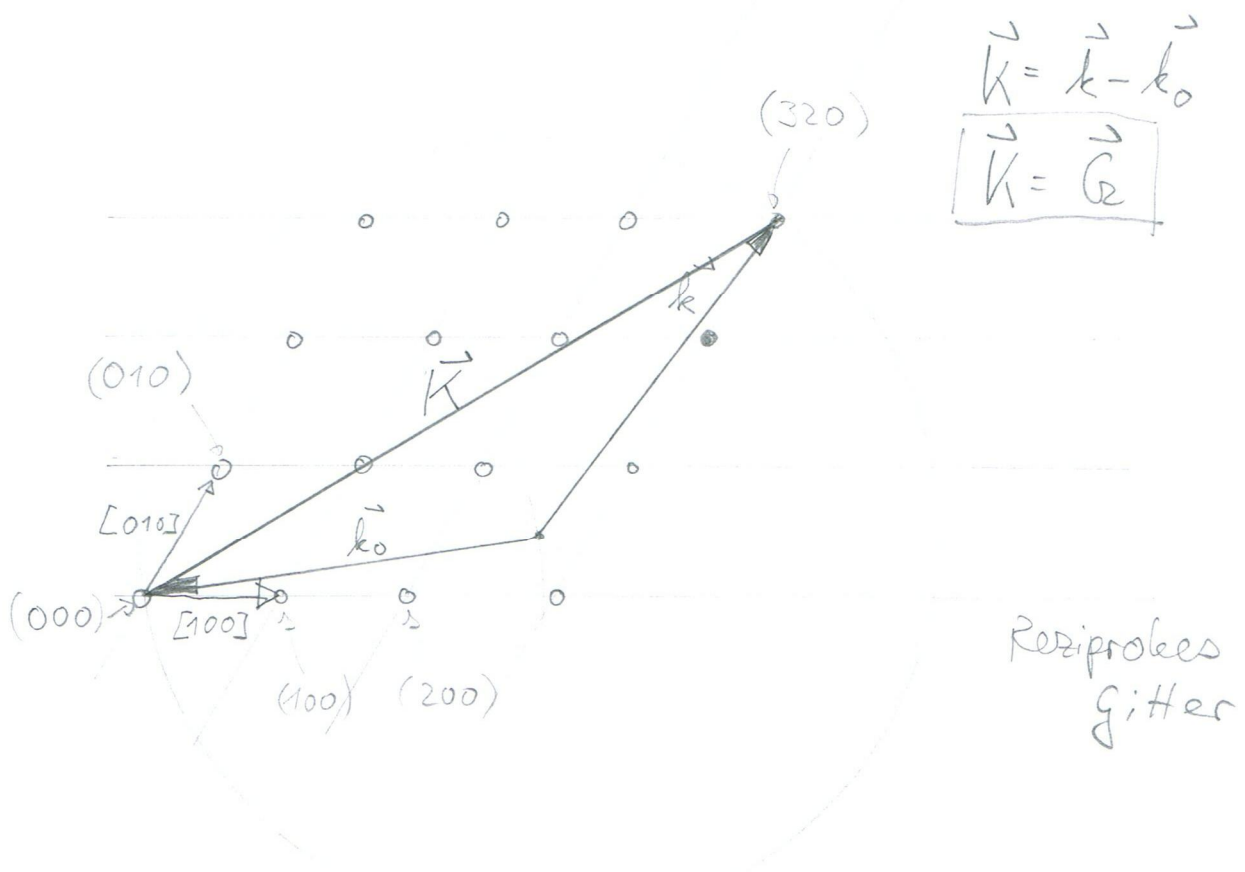
d.h. $\varrho(\vec{r})$ ist reell.

Dann gilt aber auch:

$$I_{hkl} = I_{\bar{h}\bar{k}\bar{l}} \quad \text{Friedel-Legel.}$$

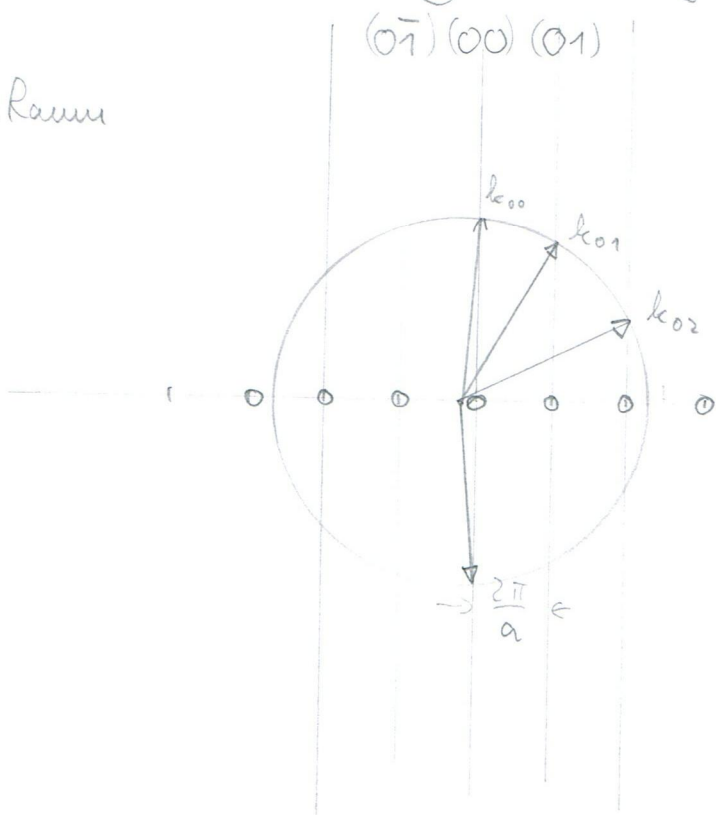
Röntgenreflexbild weist stets Liversionszentrum auf, auch wenn die zugrundeliegende Struktur kein Liversionszentrum besitzt.

Ewald-Kugel



Elektronenbeugung an Oberflächen

ver. Raum



Gitterstungen
weil 3. Dimension
 $\rightarrow \infty$ im Ortsr.
 $\Rightarrow \frac{1}{\infty} = 0$ im ver. Raum